INSTITUTO GEOLOGICO Y MINERO DE ESPAÑA

MAPA GEOLOGICO NACIONAL

ESCALA 1:50.000 MAGNA

Colección de fotógrafías

Hoja 18-31

CIUDAD REAL

COMPAÑIA GENERAL DE SONDEOS

Diciembre de 1985

18-31GSJP9501. Serie púrpura (Tremadoc) en puente Alarcos (U.1).

18-31GSJP9502. Estratificación hummocky en las cuarcitas Botella (U. 5). Serie del río Guadiana.

18-31GSJP9503. Idem.

18-31GSJP9504. Idem.

18-31GSJP9505. Estratificación hummocky Bancos Mixtos (U. 7), en las proximidades de Puente Morena.

18-31GSJP9506. Escapes de fluídos en los Bancos Mixtos (U. 7). Río Jabalón.

18-31GSJP9507. Idem. Puente Morena.

18-31GSJP9508. Ripples a techo de los bancos Mixtos (U. 7). - Puente Morena.

18-31GSJP9509. Estratificación linsen. Bancos mixtos (U. 7). Puente Morena.

18-31GSJP9510. Ripples a techo de los bancos mixtos (U. 7). - Puente Morena.

18-31GSJP9511. Lumaquela. Bancos mixtos (U. 7). Puente Morena.

18-31GSJP9512. Idem.

18-31GSJP9513. Caliza Urbana (U. 8). Puente Morena.

18-31GSJP9514. Caliza Urbana (U. 8). Río Jabalón.

18-31GSJP9515. Idem.

18-31GSJP9516. Contacto entre la Caliza Urbana (U.8) y las pizarras Chavera (U.9). Puente Morena.

18-31GSJP9517. Pizarras de Chavera (U. 9). Río Jabalón.

18-31GSJP9518. Basaltos silúricos de la unidad 9. Río Jabalón.

18-31GSJP9519. Idem.

18-31GSJP9520. Costra ferralítica (U.10). Cercanías de Villar del Pozo.

18-31GSJP9521. Idem. Aspecto de detalle.

18-31GSJP9522. Arenas y arcillas de la unidad 23. Cantera de - Corral.

18-31GSJP9523. Barras y rellenos de arcillas. Lapillis en la - base. Unidad 23. Cantera de Corral de Calatrava.

18-31GSJP9524. Idem. Aspecto de detalle.

18-31GSJP9525. Arenas cementadas. Unidad 23. Carretera Puente de Alarcos-Corral.

18-31GSJP9526. Idem.

18-31GSJP9527. Calizas de las unidades 24 y 25. Corral de Calatrava.

18-31GSJP9728. Depósitos hidromagmáticos en la base de las calizas de la Unidad 24. Cabezo Segura.

18-31GSJP9529. Calizas (U. 25), bajo colada en el Cabezo Segura.

18-31GSJP9530. Estratificación cruzada en las calizas de la -- unidad 25. Sur de La Puebla.

18-31GSJP9531. Piroclastos intercalados en las calizas y mar-- gas de la U. 24 en la Cortijada de Torrecilla.

18-31GSJP9532. Calizas de algas carstificadas. Unidad 25. Caserío de Galiana.

18-31GSJP9533. Idem.

18-31GSJP9534. Calizas de algas y margas. Unidad 24. Al sur de la Cortijada de Torrecilla. C.N. 420.

18-31GSJP9535. Idem.

18-31GSJP9536. Calizas de la unidad 25 con costra bréchica a - techo. Cantera de los Egidos al S de Puente Morena.

18-31GSJP9537. Idem.

18-31GSJP9538. Idem.

18-31GSJP9539. Arenas y calizas de las unidades 26 y 27 respectivamente. Cantera del Yacimiento de Valverde - de Calatrava II.

18-31GSJP9540. Idem.

18-31GSJP9541. Alteración en pizarras silúricas (U. 9), bajo - la Raña (U. 28) en Puente Morena.

18-31GSJP9542. Pizarras silúricas alteradas (U. 9) bajo terraza (U. 32) al S de Puente Morena.

18-31GSJP9543. Terraza (U. 32) con depósitos cineríticos a techo en Puente Morena.

18-31GSJP9544. Aluvial del Guadiana (U. 45) en Puente Alarcos.

18-31GSJP9545. Detalle de sand-wawes en depósitos hidromagmáticos (U. 21). Puente Jabalón-Fuensanta.

18-31GSJP9546. Depósitos de maar (U. 21). Puente Jabalón-Fuensanta.

18-31GSJP9547. Bomba volcánica. Carretera Ballesteros-Villar del Pozo.

18-31GSJP9548. Depresión de maar. Norte de las Casas del Pardillo.

18-31GSJP9549. Carbonatos en Cabeza Parda.

18-31GSJP9550. Depósitos de Maar (U. 21). Estación de Poblete.

18-31GSJP9551. Bomba caliza en los depósitos de maar (U. 21). S Poblete.

18-31GSJP9552. Bomba basáltica en depósitos de maar (U. 21). - Sur de Poblete.

18-31GSJP9553. Pliegue anticlinal en la Fm. Cuarcita Armoricana (U. 2). Oeste de Poblete.

18-31GSJP9554. Depósitos hidromagmáticos gruesos (U. 21). Canteras al N de Poblete.

18-31GSJP9555. Idem.

18-31GSJP9556. Laguna de Fuentillejo. Antiguo cráter de explosión sobre cuarcitas del Tremadoc (U. 1) y Arenig (U. 2).

18-31GSJP9557. Idem.

18-31GSES9501. Depósitos hidromagmáticos en el maar de la Ermita de Alarcos (U. 21).

18-31GSES9502. Volcán de Cabezo Segura, parte occidental desde Puente Morena. Melilititas (U. 11 y 12).

18-31GSES9503. Volcán de Cabeza Parda desde la Estación de la Cañada (U. 18 ).

18-31GSES9504. Depósitos hidromagmáticos en el maar al sur de Poblete (U. 21).

18-31GSES9505. Idem.

18-31GSES9506. Idem.

18-31GSES9507. Volcán de Peñarroya. Basaltos (U. 18).

18-31GSES9508. Depósitos hidromagmáticos en el maar de la Ermita de Alarcos (U. 21).

18-31GSES9509. Depósitos hidromagmáticos en el maar al sur de Poblete (U. 21).

18-31GSES9510. Volcán del Cerro de la Cruz de Alcolea. Melilititas (U. 11 y 12).

18-31GSES9511. Alternancia de piroclastos de caída y depósitos hidromagmáticos al sur del Cabezo del Hierro -- (U. 21).

18-31GSES9512. Volcán de Peñarroya detalle de las escorias - - (U. 18).

18-31GSES9513. Depósitos hidromagmáticos en el maar de la Ermita de Alarcos (U. 21).

18-31GSES9514. Idem con huellas de impacto.

18-31GSES9515. Depósitos hidromagmáticos en el maar de la Ermita de Alarcos (U. 21).

18-31GSES9516. Idem.

18-31GSES9517. Depósitos hidromagmáticos intercalados en calizas pliocenas en Casas de la Torrecilla (U.21).

18-31GSES9518. Depósitos hidromagmáticos en el maar de la Ermita de Alarcos (U. 21).

18-31GSES9519. Volcán de la Atalaya. Ballesteros de Calatrava. Basaltos (U. 18).

18-31GSES9520. Volcán de Cabeza Parda. Basaltos (U. 18).

18-31GSES9521. Colada del Cabezo Segura. Basaltos (U. 19).

18-31GSES9522. Bomba en el volcán de Cabeza Parda. Basaltos -- (U. 18).

18-31GSES9523. Colada del Cabezo Segura. Basaltos (U. 19).

18-31GSES9524. Materiales hidromagmáticos (U. 21), bajo cali-- zas pliocenas (U. 24).

18-31GSES9525. Volcán de la Atalaya. Ballesteros de Calatrava. Basaltos (U. 18).

18-31GSES9526. Unidad piroclástica inferior en Cabeza Parda -- (U. 18).

18-31GSES9527. Bomba en el volcán de Cabeza Parda. Basaltos -- (U. 18).

18-31GSES9528. Cenizas y lapilli en el Negrizal de la Atalaya. Basaltos (U. 18).

18-31GSES9529. Alternancia de piroclastos de caída y depósitos hidromagmáticos (U. 21), sobre calizas plioce-- nas (U. 24). Cabezo del Hierro.

18-31GSES9530. Colada oriental del Cabezo Segura. Basaltos (U. 19).

18-31GSES9531. Calizas pliocenas (U. 24) sobre depósitos hidro magmáticos en el Cabezo Segura Oriental.

18-31GSES9532. Detalle de las calizas (U. 24) anteriores.

18-31GSES9533. Depósitos hidromagmáticos intercalados en cali- zas pliocenas (U. 21 y 24), en Casas de la Torre cilla.

18-31GSES9534. Volcán del Cerrajón de la Puebla visto desde - el sureste. Basalto (U. 18, 19 y 20).

18-31GSES9535. Maar de la Hoya del Mortero. Cráter y anillo de tobas (U. 21).

18-31GSES9536. Depósitos hidromagmáticos en maar más meridional de Poblete. (U. 21).

18-31GSES9537. Idem.

18-31GSES9538. Idem.

16-31GSES9539. Disyunción en bolas de las coladas del volcán - de Corrales (U. 19).











































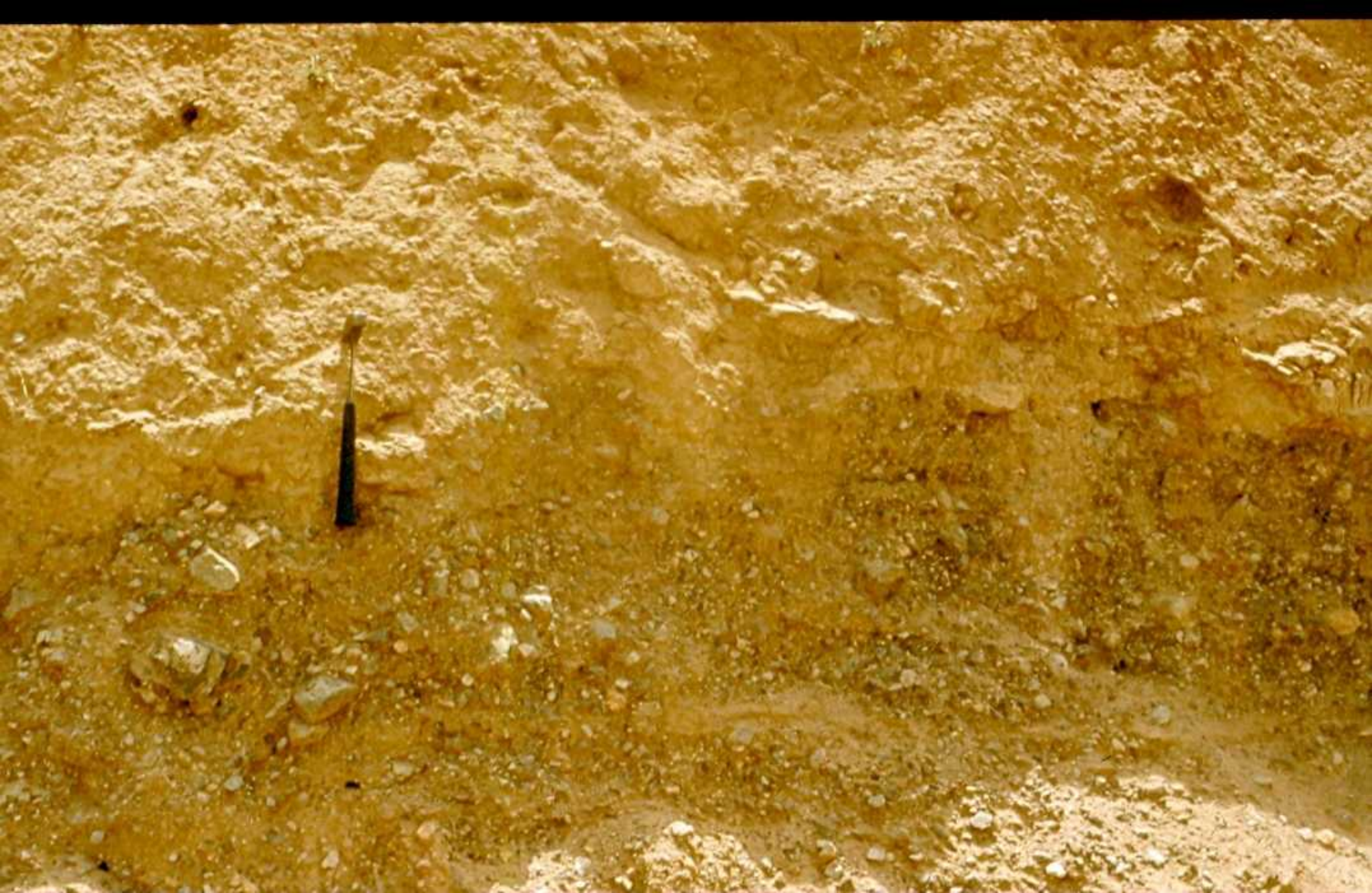










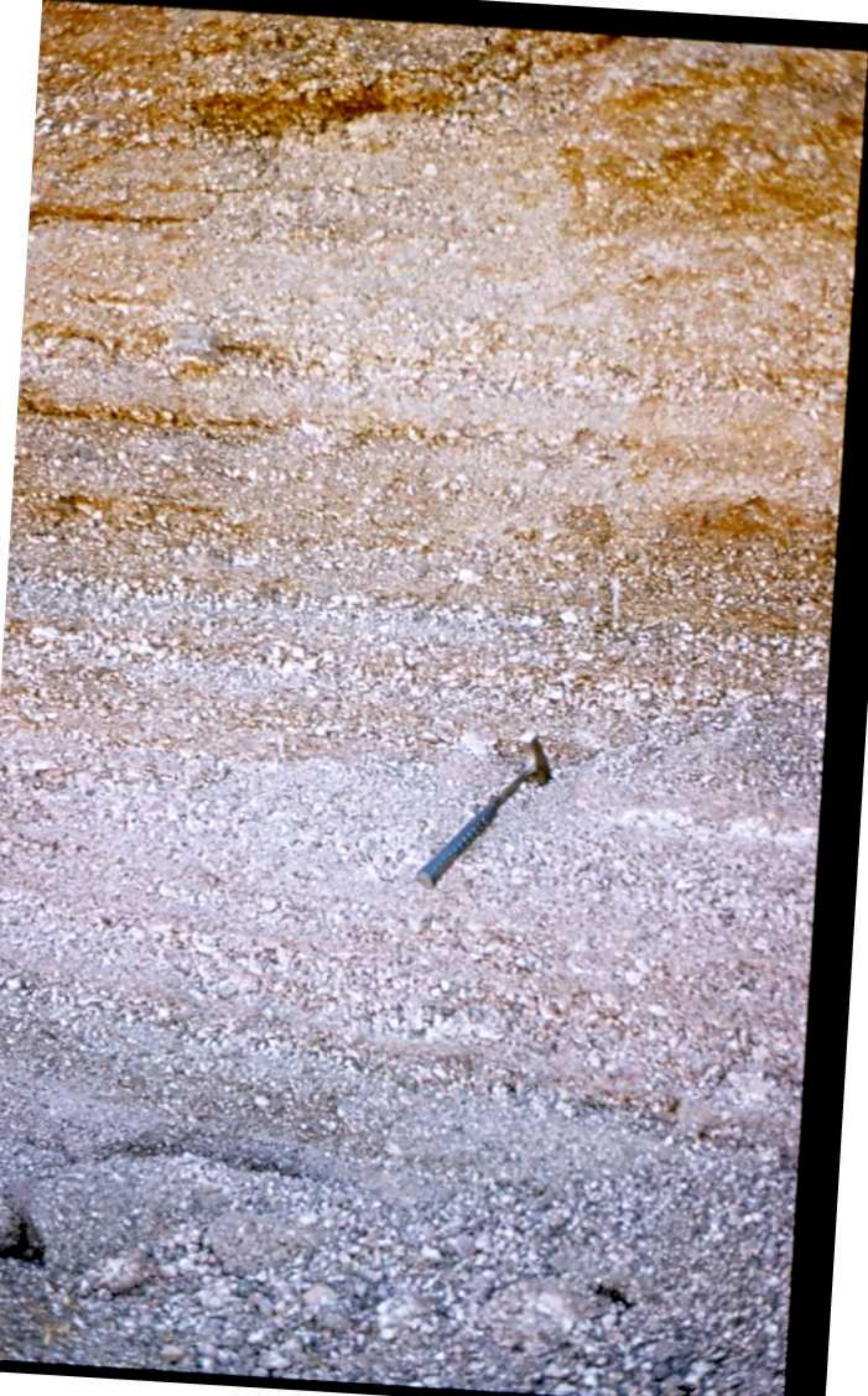


















































































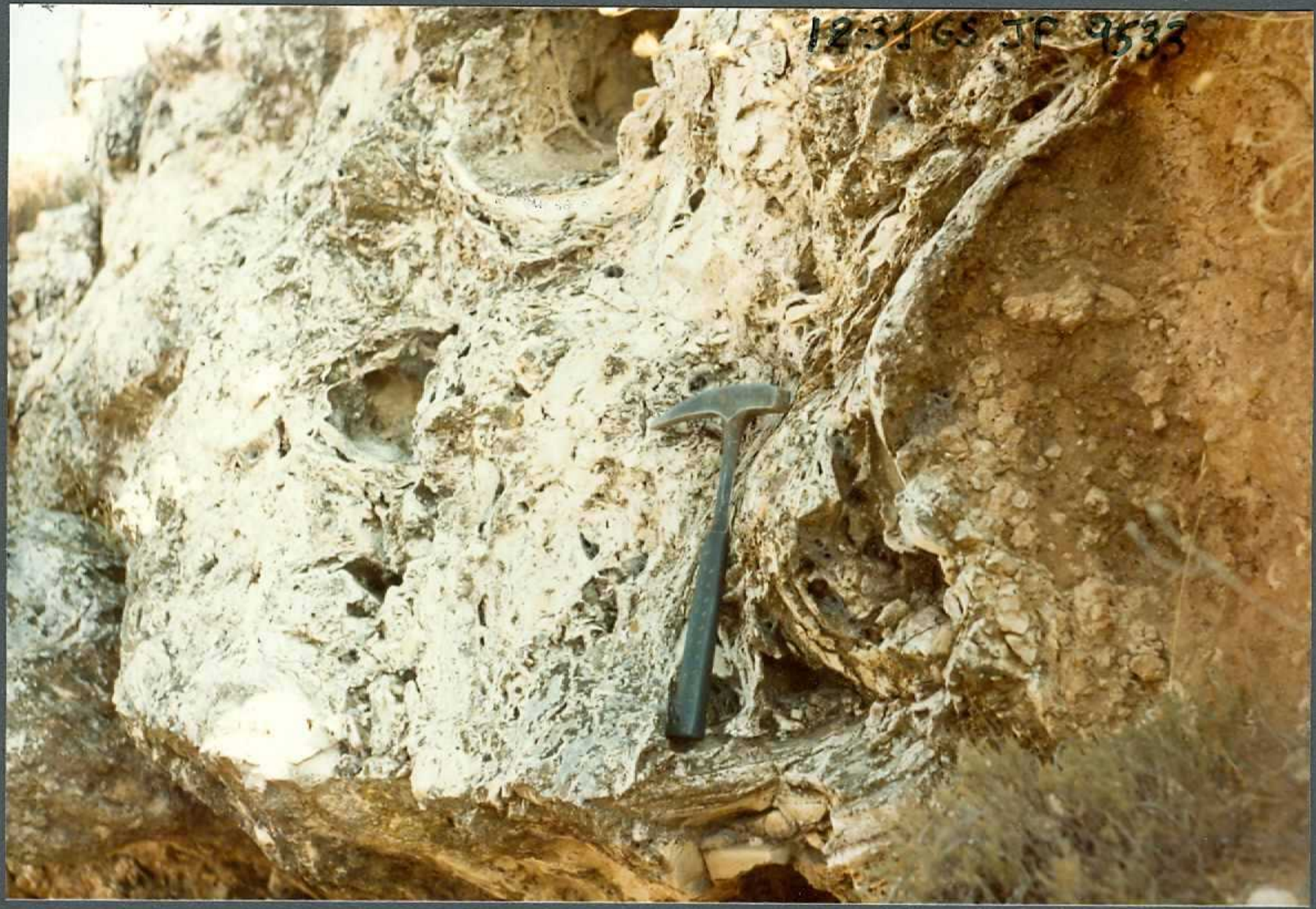


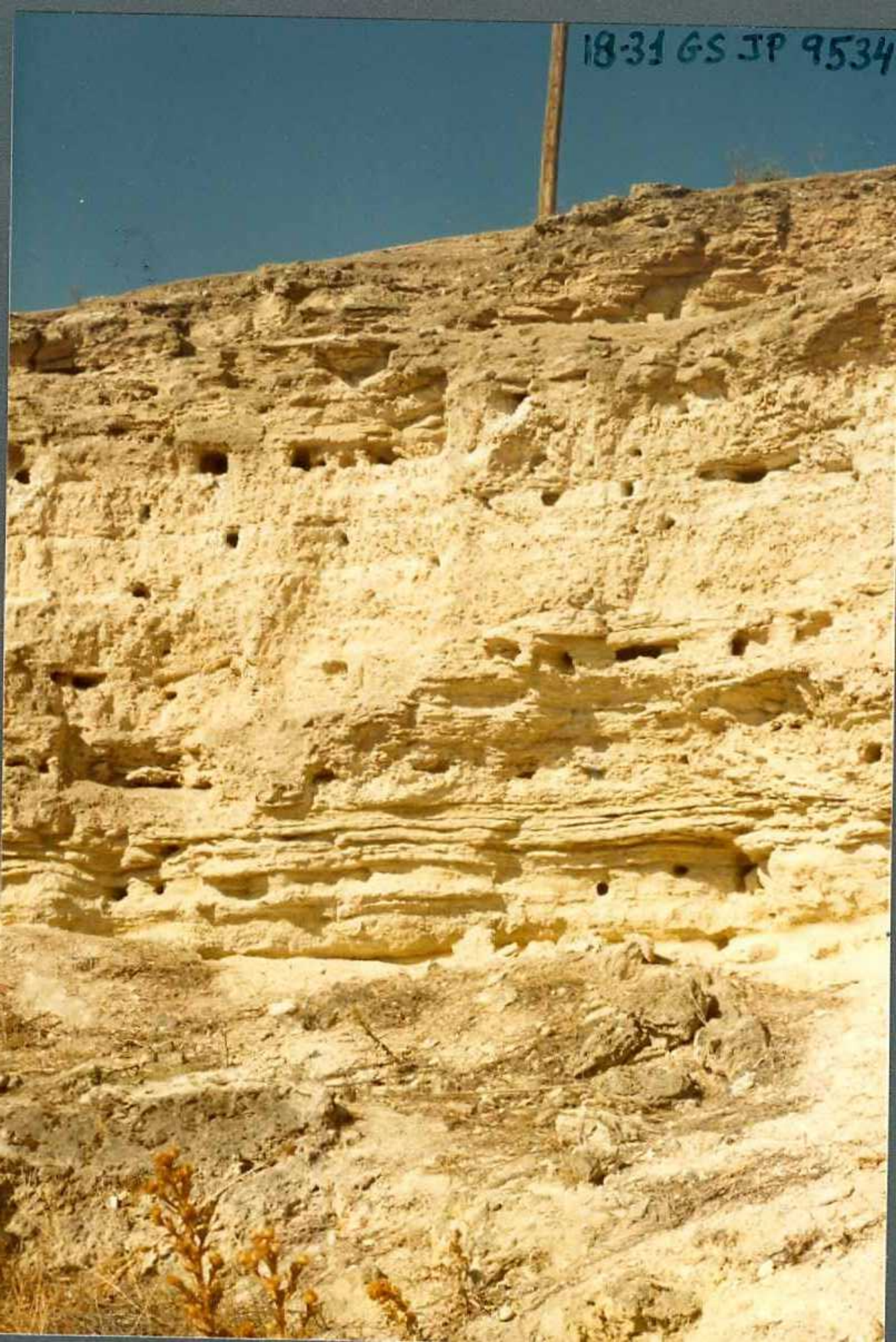



18-31 GSJP9501


8-31 GS JP 4534


18-31 GS JP 9532


12-31 GS JP 9533


18-31 GS JP 9534


18-31 GS JP 9535


18-31 GS JP 9536


18-31 GS JP 9537

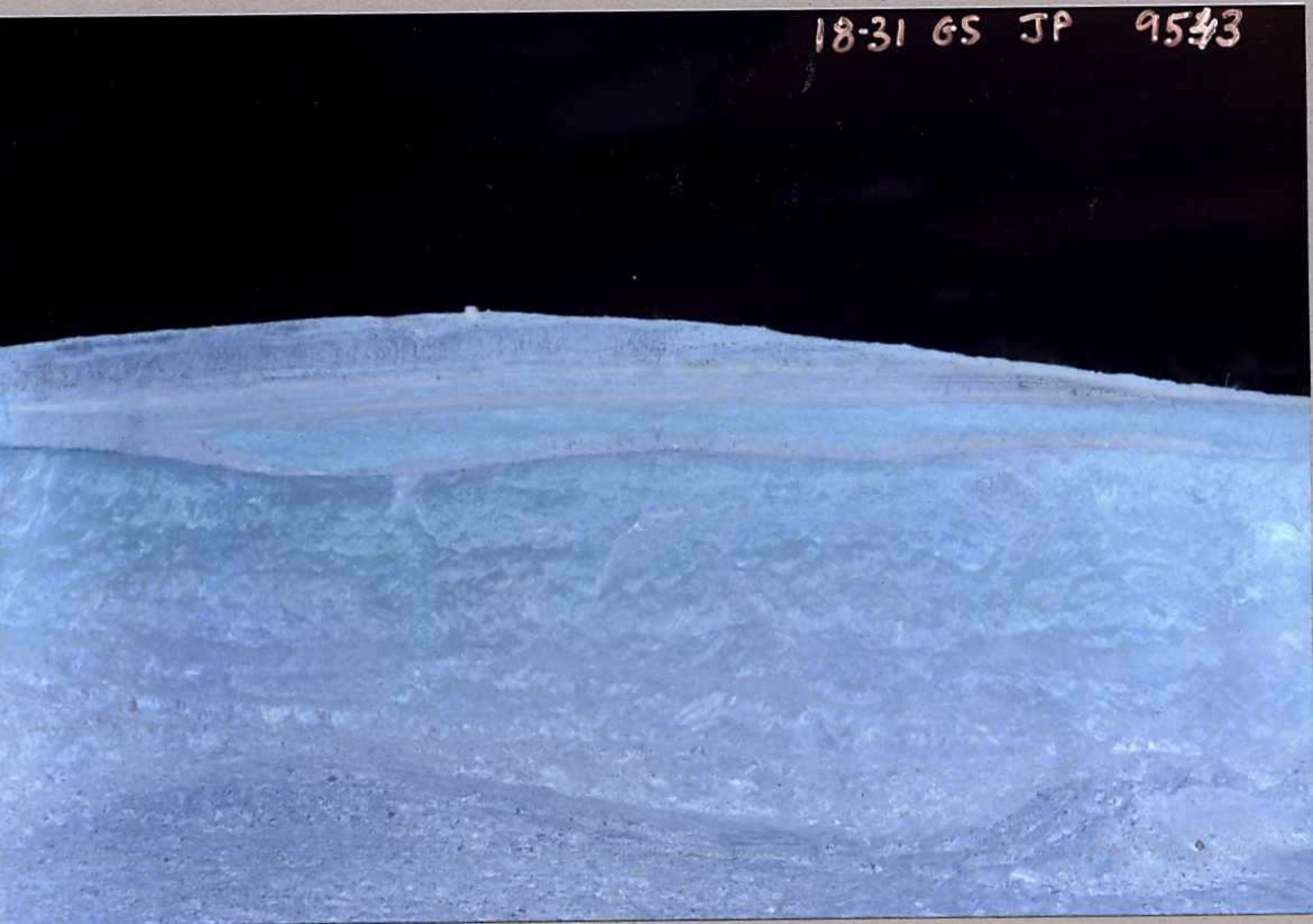


18-31 GS JP 9540




18-31 GS JP 9541


18-31 GS JP 9542


18-31 GS JP 9543


18-31 GS JP 9544